



Méthode des éléments finis Formulation intégrale du problème modèle de la barre

Prof. Th. Gmur

EPFL-STI-IGM-LMAF, ME C1 401, téléphone : 32924, messagerie électronique : thomas.gmuer@epfl.ch



- Forme forte ⇒ forme faible
 - Rappel de la formulation <u>forte</u>

$$-EA (d^{2}u/dx^{2}) = q \quad dans \]0, \ell[$$

$$u(0) = 0$$

$$EA (du/dx)|_{x=\ell} = P$$

Forme intégrale pondérée

$$0 = \int_0^\ell [EA (d^2u/dx^2) + q] \, \delta u \, dx \quad \forall \, \delta u \in V$$







Intégration par parties

$$0 = \int_0^{\ell} EA \left(\frac{du}{dx} \right) \left(\frac{d\delta u}{dx} \right) dx$$
$$- \left[EA \left(\frac{du}{dx} \right) \delta u \right]_0^{\ell} - \int_0^{\ell} q \, \delta u \, dx \quad \forall \, \delta u \in V$$

 Prise en compte des conditions aux limites et du caractère cinématiquement admissible du déplacement virtuel

$$u \in U: \int_0^\ell EA \left(\frac{du}{dx} \right) \left(\frac{d\delta u}{dx} \right) dx - P \delta u(\ell)$$

$$= \int_0^\ell q \, \delta u \, dx \quad \forall \, \delta u \in V$$

$$\Rightarrow \text{ forme faible}$$













- Forme faible ⇒ forme forte
 - Rappel de la formulation faible

$$u \in U: \int_0^{\ell} EA \left(\frac{du}{dx} \right) \left(\frac{d\delta u}{dx} \right) dx - P \, \delta u(\ell)$$
$$= \int_0^{\ell} q \, \delta u \, dx \quad \forall \, \delta u \in V$$

Intégration par parties

$$- \int_0^{\ell} [EA (d^2u/dx^2) + q] \delta u dx$$

$$+ [EA (du/dx) - P] \delta u |_{x = \ell} = 0 \quad \forall \delta u$$







-16-





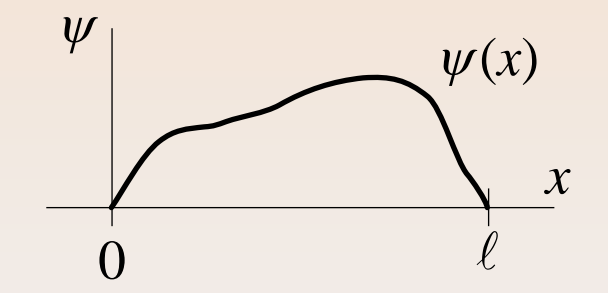
Choix d'une forme pour le déplacement virtuel

$$\delta u = \psi [EA (d^2u/dx^2) + q]$$

 $\psi(x)$ arbitraire

Cas particulier 1

$$\psi > 0, \ \psi(0) = 0, \ \psi(\ell) = 0$$



$$\Rightarrow \int_0^\ell \psi \left[EA \left(\frac{d^2 u}{dx^2} \right) + q \right]^2 dx = 0$$

$$\Rightarrow$$
 $-EA (d^2u/dx^2) = q$ dans $]0, \ell[$

-17-











L mar

 χ

 $\psi(x)$

Cas particulier 2

$$\psi > 0, \ \psi(0) = 0,$$

$$EA \left(\frac{d^2u}{dx^2} \right) + q = 0$$

$$\forall x \in]0, \ell[$$

$$\Rightarrow [EA (du/dx) - P] \delta u|_{x=\ell} = 0$$

$$\Rightarrow EA \left(\frac{\mathrm{d}u}{\mathrm{d}x} \right) |_{x=\ell} = P \quad \text{car } \delta u \in V$$

-18-

$$u(0) = 0$$
 car $u \in U$

⇒ forme forte









Formulation faible approchée



Approximation des déplacements axiaux réel et virtuel

$$u \approx u^h \in U^h \subset U$$
 $\delta u \approx \delta u^h \in V^h \subset V$

Forme faible approchée

$$u^{h} \in U^{h}: \int_{0}^{\ell} EA \left(\frac{du^{h}}{dx} \right) \left(\frac{d\delta u^{h}}{dx} \right) dx$$

$$= P \delta u^{h}(\ell) + \int_{0}^{\ell} q \delta u^{h} dx \quad \forall \ \delta u^{h} \in V^{h}$$

• Choix de n fonctions de forme linéairement indépendantes, constituant une base du sous-espace \mathcal{U}^h de dimension n

$$h_i(x) (i = 1, 2, ..., n)$$











L mar

Approximation de Galerkin

$$u^h(x) = \sum_{i=1}^n \alpha_i h_i(x) = \mathbf{H}(x) \mathbf{\alpha}$$

$$\mathbf{H} = [h_1, h_2, ..., h_i, ..., h_n] \quad \text{matrice } (1 \times n) \text{ des fonctions de forme}$$

 $\boldsymbol{\alpha} = \{\alpha_1, \alpha_2, ..., \alpha_i, ..., \alpha_n\}^T$ vecteur $(n \times 1)$ des inconnues

$$\delta u^h(x) = \sum_{i=1}^n \delta \alpha_i h_i(x) = \mathbf{H}(x) \delta \alpha$$



Même forme d'approximation pour u^h et δu^h

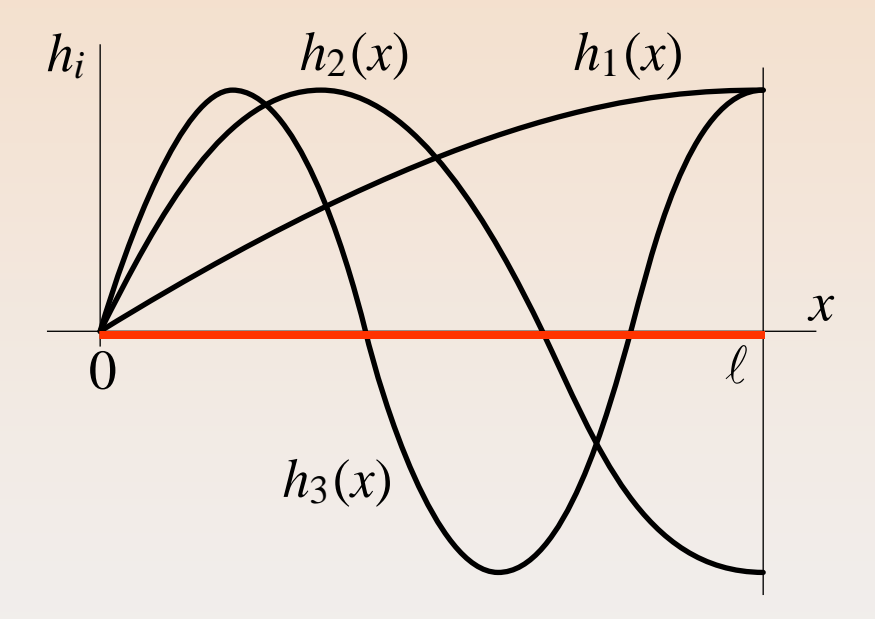






L mar

Caractérisation des fonctions de forme



Fonctions $h_i(x)$ $(i=1,\,2,\,...,\,n)$ définies globalement sur le domaine $[0,\,\ell]$

-21-



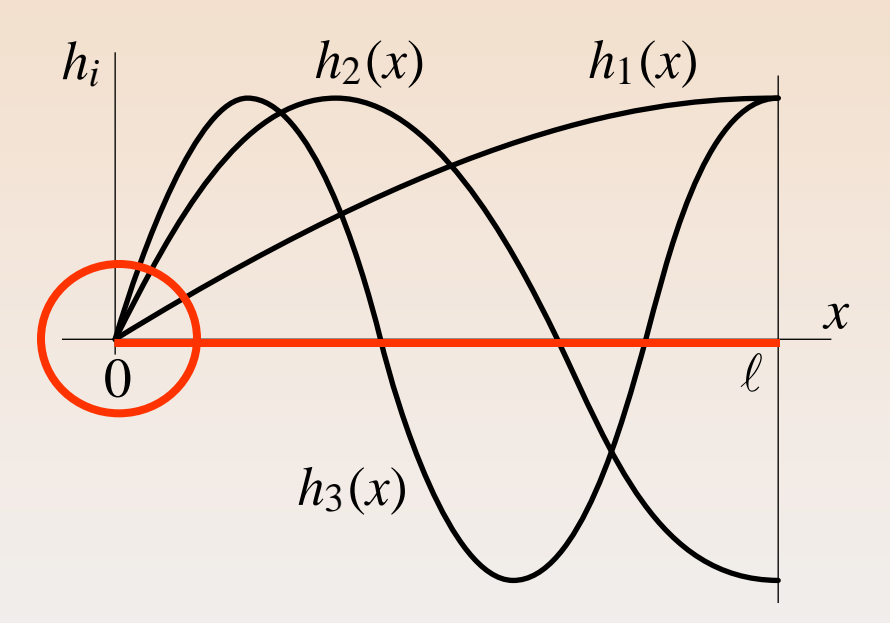






L mar

Caractérisation des fonctions de forme



Fonctions $h_i(x)$ (i=1, 2, ..., n) définies globalement sur le domaine $[0, \ell]$ et respectant la condition aux limites essentielle

-22-











Insertion de l'approximation dans la forme faible approchée

$$\int_{0}^{\ell} EA \left[d(\mathbf{H} \, \delta \mathbf{\alpha})^{\mathrm{T}} / \mathrm{d}x \right] \left[d(\mathbf{H} \, \mathbf{\alpha}) / \mathrm{d}x \right] \, \mathrm{d}x$$

$$= \left[\mathbf{H}(\ell) \, \delta \mathbf{\alpha} \right]^{\mathrm{T}} P \, + \, \int_{0}^{\ell} \left[\mathbf{H} \, \delta \mathbf{\alpha} \right]^{\mathrm{T}} q \, \mathrm{d}x \quad \forall \, \delta \mathbf{\alpha}$$
Transposition









-23-





Insertion de l'approximation dans la forme faible approchée

$$\int_{0}^{\ell} EA \left[d(\mathbf{H} \, \delta \mathbf{\alpha})^{\mathrm{T}} / dx \right] \left[d(\mathbf{H} \, \mathbf{\alpha}) / dx \right] dx$$

$$= \left[\mathbf{H}(\ell) \, \delta \mathbf{\alpha} \right]^{\mathrm{T}} P + \int_{0}^{\ell} \left[\mathbf{H} \, \delta \mathbf{\alpha} \right]^{\mathrm{T}} q \, dx \quad \forall \, \delta \mathbf{\alpha}$$

$$\Rightarrow \delta \mathbf{\alpha}^{\mathrm{T}} \left[\int_{0}^{\ell} EA \left(d\mathbf{H}^{\mathrm{T}} / dx \right) \left(d\mathbf{H} / dx \right) dx \cdot \mathbf{\alpha} \right]$$
matrice de rigidité \mathbf{K}

$$- \left[\mathbf{H}^{\mathrm{T}}(\ell) P + \int_{0}^{\ell} \mathbf{H}^{\mathrm{T}} q dx \right] = 0 \quad \forall \, \delta \mathbf{\alpha}$$

-24-

$$\Rightarrow \delta \mathbf{\alpha}^{\mathrm{T}}(\mathbf{K} \mathbf{\alpha} - \mathbf{r}) = 0 \quad \forall \, \delta \mathbf{\alpha}$$

vecteur des forces appliquées **r**













Lmaf

Forme faible discrète

$$\mathbf{K} \boldsymbol{\alpha} = \mathbf{r}$$

$$\mathbf{K} = \int_0^\ell EA \left(d\mathbf{H}^T / dx \right) \left(d\mathbf{H} / dx \right) dx \quad \text{matrice de rigidité}$$

$$= \int_0^\ell EA \, \mathbf{B}^T \mathbf{B} \, dx$$

$$\mathbf{r} = \mathbf{H}^T(\ell) \, P \, + \, \int_0^\ell \mathbf{H}^T \, q \, dx \quad \text{vecteur des forces appliquées}$$

$$\mathbf{B} = \mathrm{d}\mathbf{H}/\mathrm{d}x$$

matrice-déformation ou de passage des déplacements aux déformations







-25-





L maf

Forme indicielle de la formulation faible discrète

$$\begin{split} &\delta\!\boldsymbol{\alpha}^{\mathrm{T}}(\mathbf{K}\,\boldsymbol{\alpha}-\mathbf{r})=0\quad\forall\;\delta\!\boldsymbol{\alpha}\quad\Rightarrow\;\mathbf{K}\,\boldsymbol{\alpha}=\mathbf{r}\\ &\delta\!\boldsymbol{\alpha}=\{1,0,...,0,...,0\}^{\mathrm{T}}\rightarrow\mathsf{1^{\mathrm{ère}}}\;\mathrm{ligne}\quad\sum_{j=1}^{n}k_{1j}\;\alpha_{j}=r_{1}\\ &\delta\!\boldsymbol{\alpha}=\{0,1,...,0,...,0\}^{\mathrm{T}}\rightarrow\mathsf{2^{\mathrm{ème}}}\;\mathrm{ligne}\quad\sum_{j=1}^{n}k_{2j}\;\alpha_{j}=r_{2}\\ &\ldots \end{split}$$

$$\Rightarrow \sum_{j=1}^{n} k_{ij} \alpha_j = r_i \qquad k_{ij} = \int_0^{\ell} EA \left(\frac{dh_i}{dx} \right) \left(\frac{dh_j}{dx} \right) dx$$
$$r_i = h_i(\ell) P + \int_0^{\ell} h_i q dx$$









Avantages et inconvénients de la méthode de Galerkin



- Avantages de la méthode de Galerkin par rapport aux autres procédés des résidus pondérés
 - Même approximation pour u^h et $\delta u^h \Rightarrow$ construction d'un seul sous-espace U^h et d'un seul ensemble de fonctions $h_i(x)$
 - Meilleure approximation possible de u^h dans le sous-espace U^h



- Inconvénients de la méthode de Galerkin
 - Aucune information pour la construction des fonctions de forme $h_i(x) \Rightarrow$ manque de systématisation de la procédure
 - Difficultés à trouver des fonctions $h_i(x)$ globales satisfaisant les conditions aux limites essentielles

-27-

- Inconnues $lpha_i$ sans interprétation physique

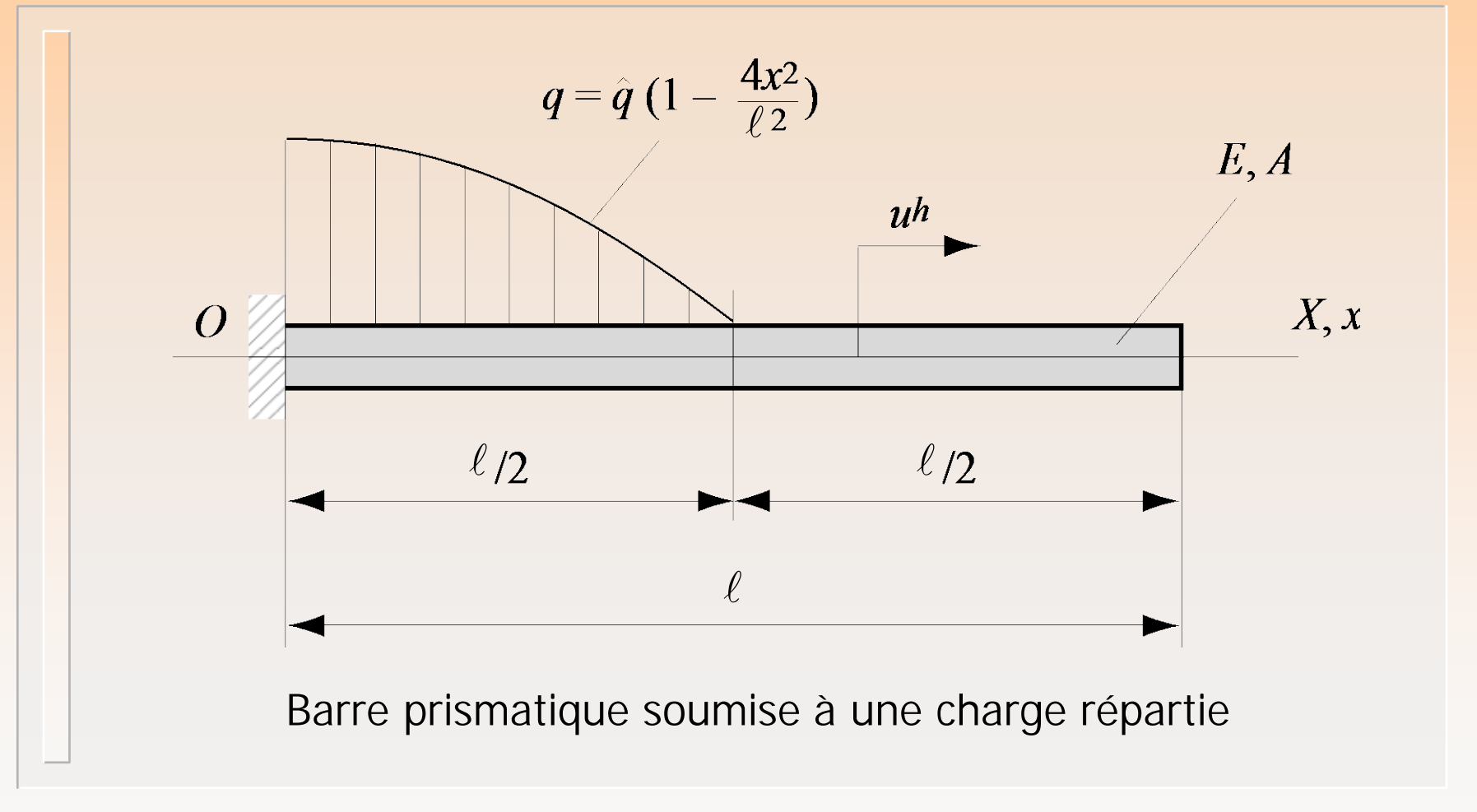
























Adaptation de la formulation faible approchée

$$u^{h} \in U^{h}: \int_{0}^{\ell} EA \left(\frac{du^{h}}{dx} \right) \left(\frac{d\delta u^{h}}{dx} \right) dx$$

$$= \int_{0}^{\ell/2} \hat{q} \left[1 - \frac{4x^{2}}{\ell^{2}} \right] \delta u^{h} dx \quad \forall \ \delta u^{h} \in V^{h}$$

 Approximation à deux termes des déplacements réel et virtuel par la méthode de <u>Galerkin</u>

$$u^{h}(x) = \alpha_{1} h_{1}(x) + \alpha_{2} h_{2}(x)$$

$$\delta u^{h}(x) = \delta \alpha_{1} h_{1}(x) + \delta \alpha_{2} h_{2}(x)$$







-29-

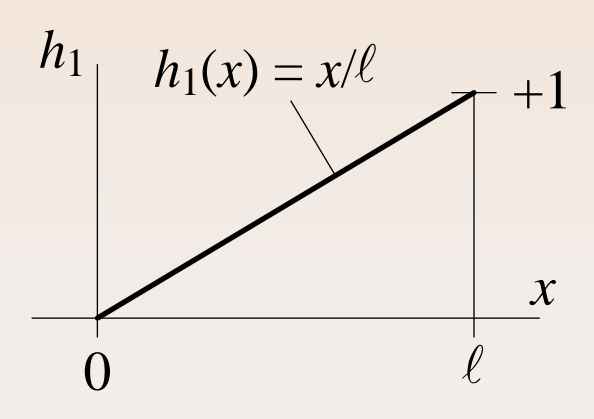


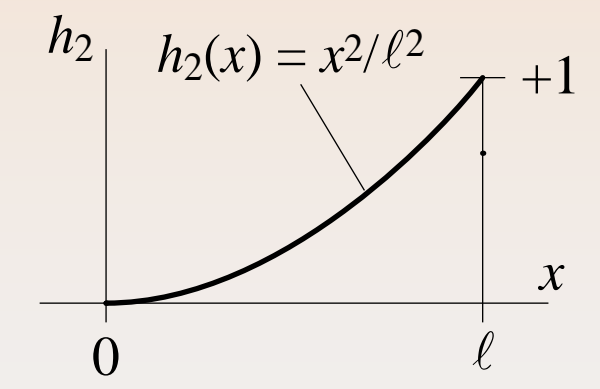


Choix des fonctions d'approximation

$$h_1(x) = x/\ell \qquad (\mathrm{d}h_1/\mathrm{d}x = 1/\ell)$$

$$h_2(x) = x^2/\ell^2 \quad (dh_2/dx = 2x/\ell^2)$$







Respect de la condition aux limites essentielle en x = 0







-30-





Calcul de la matrice de rigidité K

$$k_{11} = \int_{0}^{\ell} EA \, (dh_{1}/dx)^{2} \, dx = \int_{0}^{\ell} \frac{EA}{\ell^{2}} \, dx = EA/\ell$$

$$k_{12} = k_{21} = \int_{0}^{\ell} EA \, (dh_{1}/dx) \, (dh_{2}/dx) \, dx$$

$$= \int_{0}^{\ell} EA \, \frac{2x}{\ell^{3}} \, dx = EA/\ell$$

$$k_{22} = \int_{0}^{\ell} EA \, (dh_{2}/dx)^{2} \, dx = \int_{0}^{\ell} EA \, \frac{4x^{2}}{\ell^{4}} \, dx = 4EA/(3\ell)$$

$$\Rightarrow \mathbf{K} = \frac{EA}{3\ell} \begin{bmatrix} 3 & 3 \\ 3 & 4 \end{bmatrix}$$







-31-





L mar

Calcul du vecteur des forces externes r

$$r_{1} = \int_{0}^{\ell/2} \hat{q} \left[1 - \frac{4x^{2}}{\ell^{2}} \right] h_{1} dx = \int_{0}^{\ell/2} \hat{q} \left[1 - \frac{4x^{2}}{\ell^{2}} \right] \frac{x}{\ell} dx$$
$$= \hat{q}\ell/16$$

$$r_2 = \int_0^{\ell/2} \hat{q} \left[1 - \frac{4x^2}{\ell^2} \right] h_2 dx = \int_0^{\ell/2} \hat{q} \left[1 - \frac{4x^2}{\ell^2} \right] \frac{x^2}{\ell^2} dx$$
$$= \hat{q}\ell/60$$

$$\Rightarrow \mathbf{r} = \frac{\hat{q}\ell}{240} \begin{bmatrix} 15\\4 \end{bmatrix}$$













• Système d'équations $\mathbf{K} \, \mathbf{\alpha} = \mathbf{r}$

$$\frac{EA}{3\ell} \begin{bmatrix} 3 & 3 \\ 3 & 4 \end{bmatrix} \begin{bmatrix} \alpha_1 \\ \alpha_2 \end{bmatrix} = \frac{\hat{q}\ell}{240} \begin{bmatrix} 15 \\ 4 \end{bmatrix}$$

Résolution du système d'équations

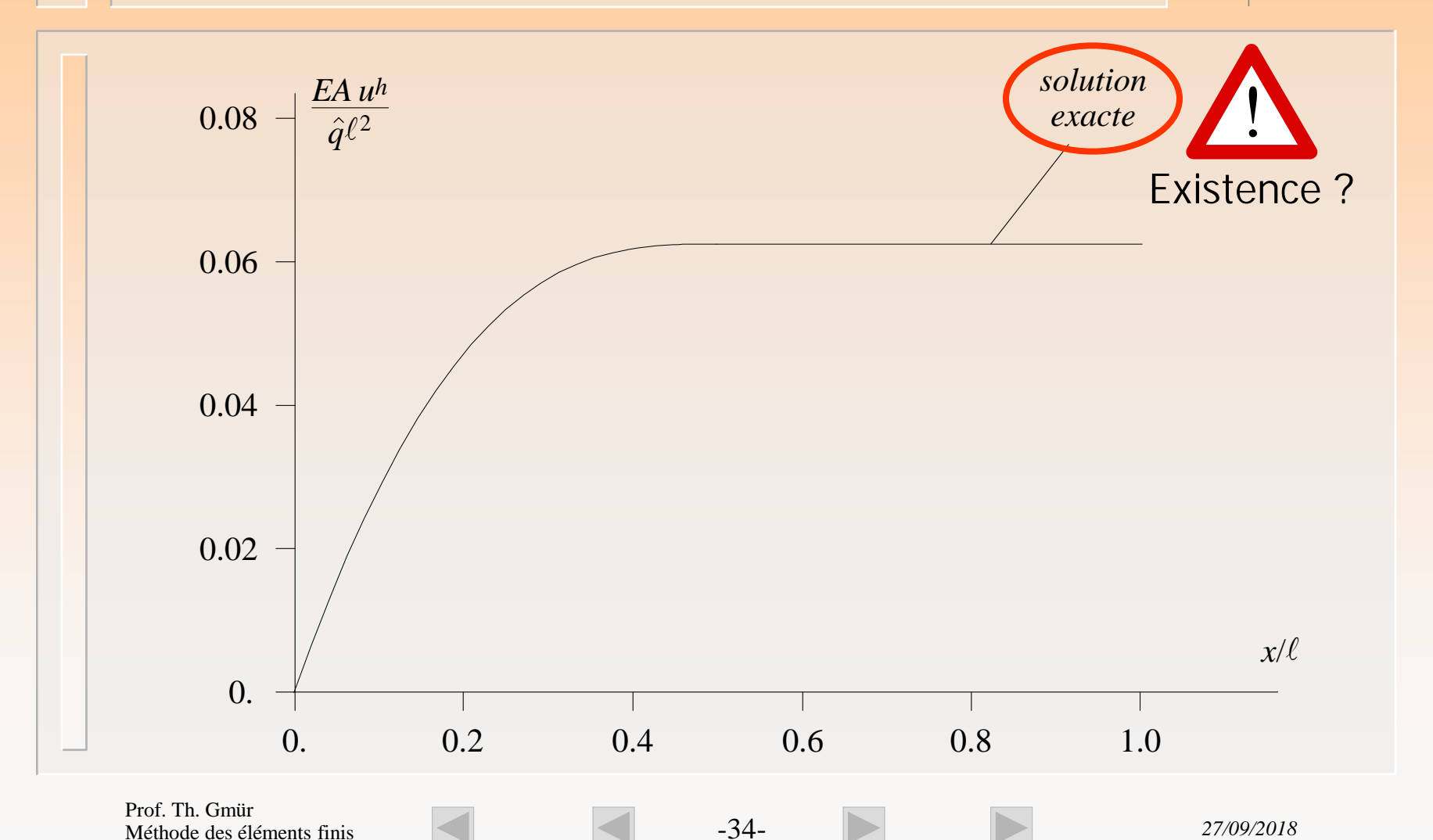
$$\alpha_1 = \hat{q}\ell^2/(5EA)$$

$$\alpha_2 = -11\hat{q}\ell^2/(80EA)$$

Solution approchée du problème

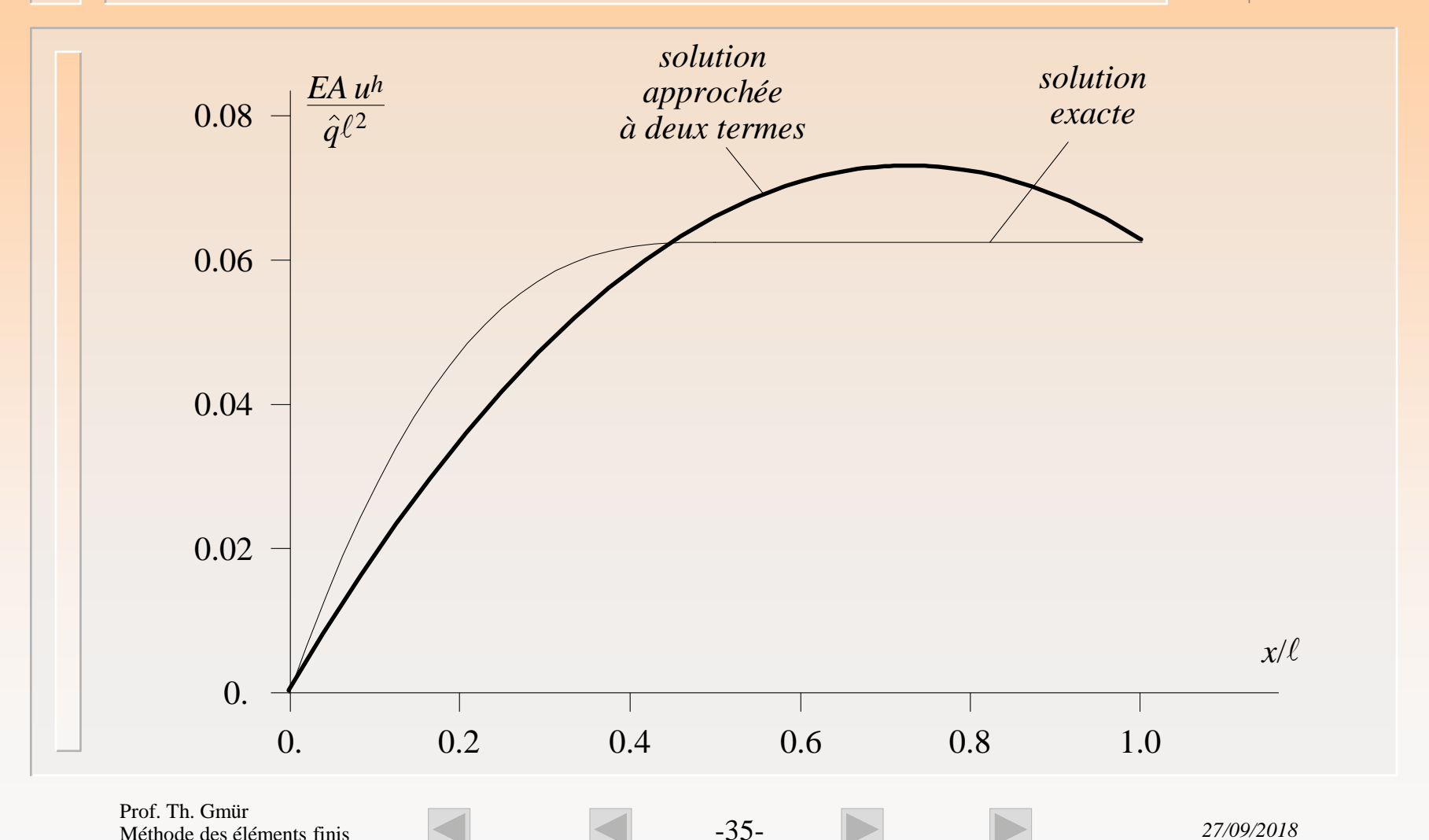
$$u^h(x) = \frac{\hat{q}\ell x}{5EA} \left[1 - \frac{11x}{16\ell} \right]$$



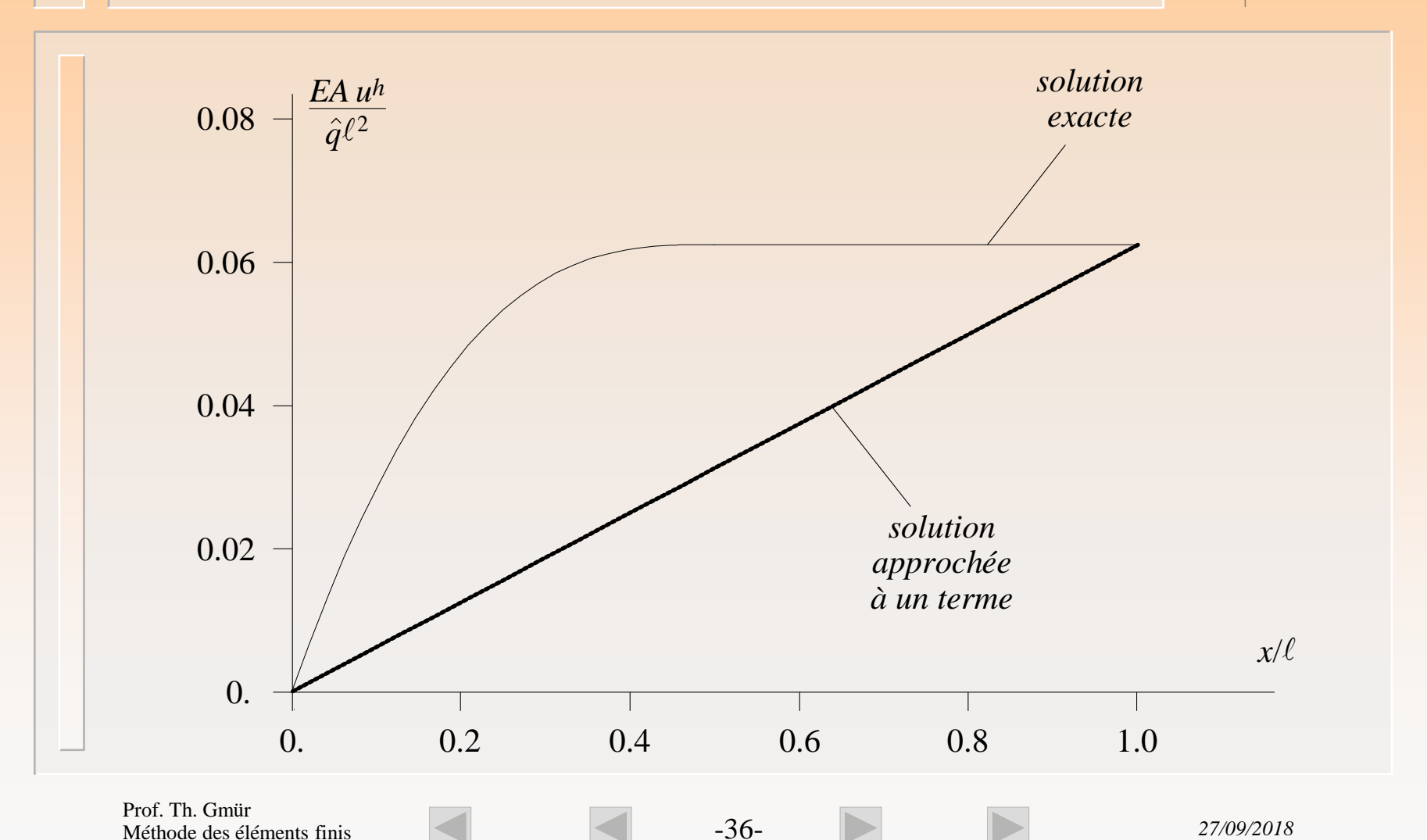


Méthode des éléments finis



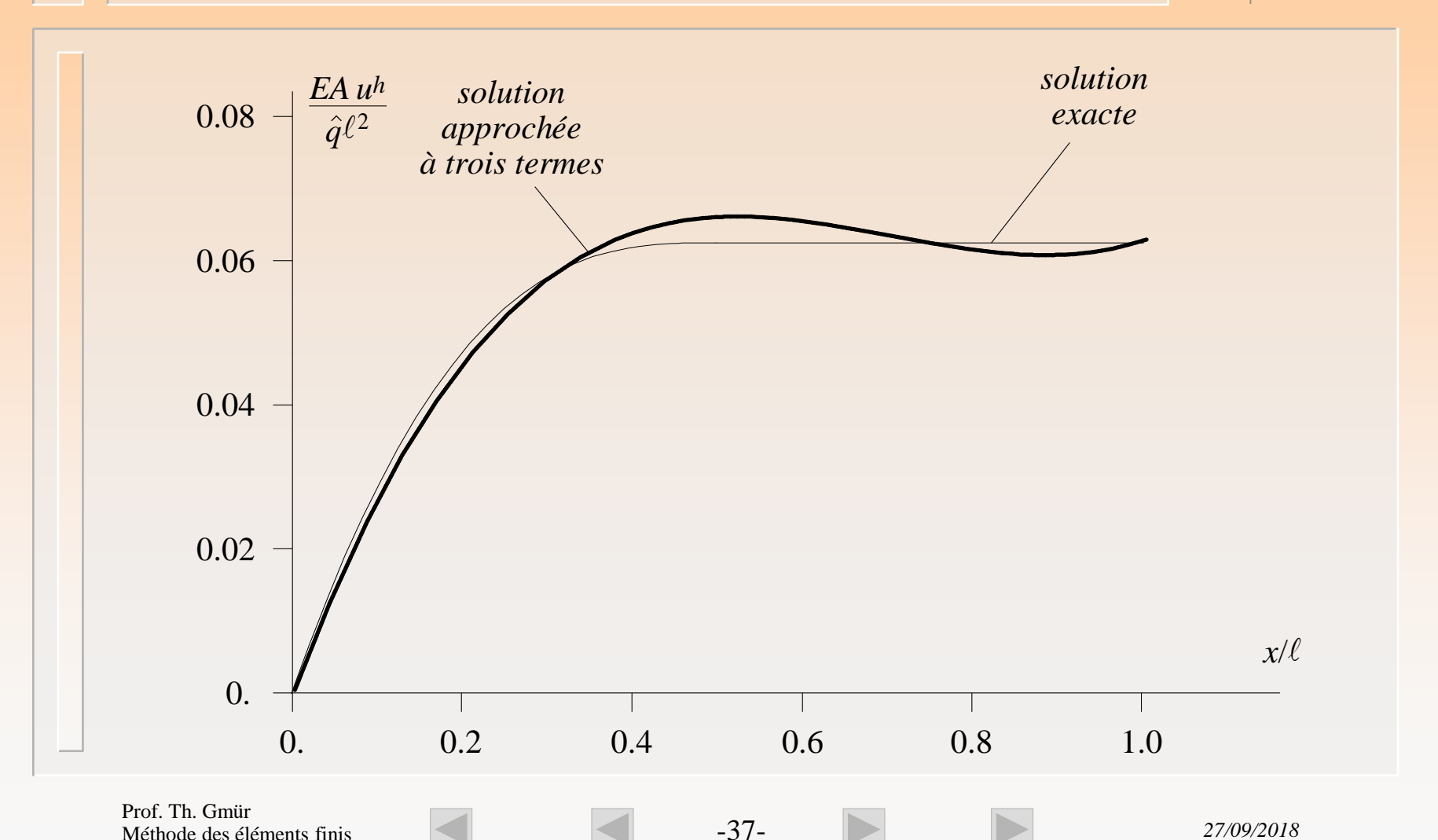




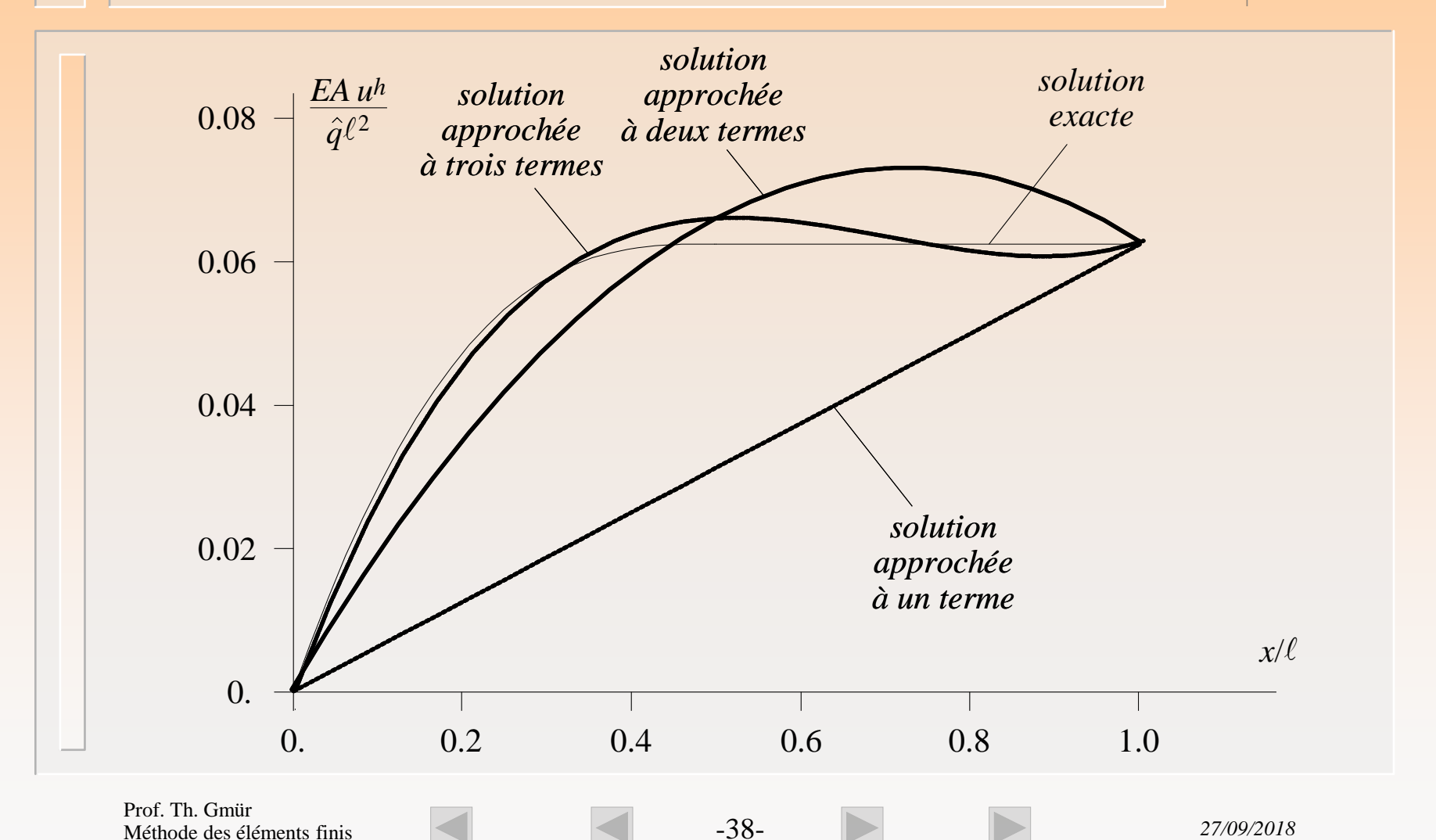


Méthode des éléments finis











- Discussion des résultats et commentaires
 - Accroissement de la précision globale avec le nombre n de termes dans l'approximation u^h
 - Solution exacte en x = 0



Condition aux limites essentielle vérifiée par l'approximation u^h

• Solution exacte en $x = \ell$



Résultat non généralisable

- Condition aux limites naturelle approchée en $x=\ell$, mais approximation améliorée avec le nombre n de termes

-39-







